

日本道路公团 正員 及浦信一
大阪大学工学部 正員 小松定夫
大阪大学大学院 学生員 三吉和範

1 まえがき 小西・小松⁽²⁾⁽³⁾は、薄肉ばり理論を用いて、代表的な荷重状態における曲線箱げたの計算公式を与えている。これは、近似解法として、非常に有効であるが、断面変形を考慮していない。Dahowaki⁽⁴⁾は、曲線箱げたの断面変形に關して、興味ある研究を報告している。本研究は、これらを発展させたものであり、次の事を目的とする。

(1) 断面変形を考慮した曲線箱げたの解析手法の提示

(2) 隔壁・対傾構の配置間隔や必要剛性に関する基礎的設計資料の作成

ここでは、(1)について記述し、(2)については、後日詳細な報告を、あこなう。

2 解析手法 曲線箱げたの軸方向応力 σ_x は、3成分から成り立つ。

$$\sigma_x = \sigma_b + \sigma_w + \sigma_f \quad (1)$$

式中の第1項は曲げモーメントにより生ずる応力であり、第2項は曲げねじりモーメントにより生ずる応力である。各々、薄肉ばり理論より求め得る。第3項は断面変形により生ずる応力であり、Dahowaki⁽⁴⁾により次式の如く与えられている。

$$\sigma_f = -A^* D_s \gamma'' \quad (2)$$

ここに、 $A^* = \frac{E H_f H_w}{8 \theta_{\text{eff}}}$, D_s : そり剛数(図2-(a)), γ : 断面変形角(図2(b))である。式(2)の γ については、曲線箱げたをN分割し、 k 番目の要素に対する微分方程式は次式の通りである。

$$\gamma'' + 4 \lambda_k^+ \gamma = \frac{1}{W A_k^*} \left(S_k \frac{M_y}{R_k} - \frac{m}{2} \right) \quad (3)$$

ここに、 $\lambda_k^+ = \left(\frac{R_k}{4 W A_k^*} \right)^{1/2}$, R_k : 箱げた剛性, $W A_k^*$: 断面変形に対する剛性, S_k : 無次元の形状係数, M_y : 曲げモーメント, m : 分布トルク, R_k : 回心の曲率半径である。一般解は次式の通りである。

$$\gamma = C_{ik} Y_i(\lambda_k R_k \theta_k) + K_{ik} \sin \theta_k + K_{ik} \cos \theta_k + K_{ik} \quad (4)$$

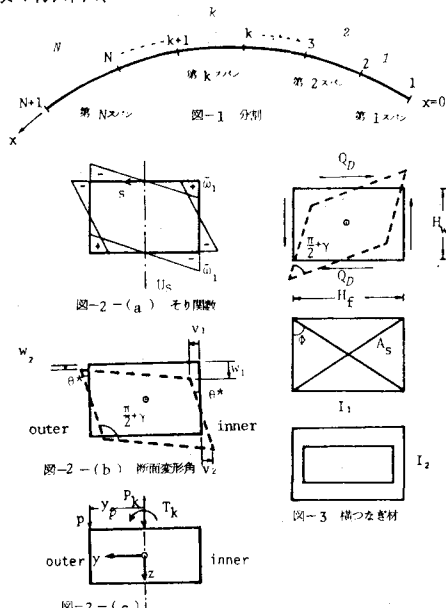
ここに、 $C_{ik} \sim C_{ik}$: 積分定数, $Y_i(\lambda_k R_k \theta_k) \sim Y_i(\lambda_k R_k \theta_k)$: Krylov関数, $K_{ik} \sim K_{ik}$: 定数である。積分定数は、境界条件 $\gamma = \gamma_k$, $\gamma' = \gamma'_k$ ($\theta_k = 0$), $\gamma = \gamma_{k+1}$, $\gamma' = \gamma'_{k+1}$ ($\theta_k = \theta_k$, θ_k : k番目要素の中心角)より決定される。行列表示すると、

$$\begin{bmatrix} \gamma_k \\ \gamma'_k \\ \gamma_{k+1} \\ \gamma'_{k+1} \end{bmatrix} = \begin{bmatrix} 1 & 0 & 0 & 0 \\ 0 & K_{ik} & 0 & 0 \\ K_{ik} & K_{ik} & K_{ik} & K_{ik} \\ K_{ik} & K_{ik} & K_{ik} & K_{ik} \end{bmatrix} \begin{bmatrix} C_{ik} \\ C_{ik} \\ C_{ik} \\ C_{ik} \end{bmatrix} + \begin{bmatrix} K_{ik} \\ K_{ik} \\ K_{ik} \\ K_{ik} \end{bmatrix} \quad \text{又は} \quad U_k = H_k \cdot X_k + I_k \quad (5)$$

全要素については次式の通りである。

$$U = H X + I \quad (6)$$

ここに、 $U = \{U_1; U_2; U_3; \dots; U_N\}$, $H = \text{diag}\{H_1; H_2; H_3; \dots; H_N\}$, $I = \{I_1; I_2; I_3; \dots; I_N\}$ である。分割点 x における釣合式は次式の通りである。



$$(WA^*\gamma'')_{k-1} - (WA^*\gamma'')_k = \frac{T_k}{2} + Q_{dk} \cdot H_w \quad (7)$$

$$(WA^*\gamma'')_{k-1} - (WA^*\gamma'')_k = 0$$

ここに、 $T_k = PY_p$ (図2(c))であり、 $Q_{dk} = K_d \cdot Y_k$ は、横つなぎ材の水平せん断力である。 K_d は、横つなぎ材の形状により、①隔壁形式 $K_d = G t_d H_k$ 、ただし t_d ：隔壁板厚、②効傾構形式 $K_d = \frac{2EA_s H_w \sin^2 \phi}{H_s}$ 、③ラーメン形式 $K_d = \frac{24E}{H_w(H_{s1}/I_s + H_{s2}/I_s)}$ である。(図-3) 式(7)を行列表示すると次式の通りである。

$$\begin{bmatrix} \frac{T_k}{2} + Q_{dk} H_w \\ 0 \end{bmatrix} = \begin{bmatrix} WA_{k-1}^* M_{1,k-1} & WA_{k-1}^* M_{2,k-1} & WA_{k-1}^* M_{3,k-1} & WA_{k-1}^* M_{4,k-1} \\ WA_{k-1}^* N_{1,k-1} & WA_{k-1}^* N_{2,k-1} & WA_{k-1}^* N_{3,k-1} & WA_{k-1}^* N_{4,k-1} \end{bmatrix} \begin{bmatrix} 0 & 0 & -WA_{k-1}^* L_{1,k} \\ 0 & 0 & -WA_{k-1}^* J_{1,k} \end{bmatrix} \begin{bmatrix} X_{k-1} \\ X_k \end{bmatrix} + \begin{bmatrix} WA_{k-1}^* M_{5,k-1} & WA_{k-1}^* L_{2,k} \\ WA_{k-1}^* N_{5,k-1} & WA_{k-1}^* J_{2,k} \end{bmatrix}$$

全分割点については、次式の通りである。

$$\bar{P} = J \cdot X + L \quad (8)$$

ここで、 $\bar{P} = \{\bar{P}_1; \bar{P}_2; \dots; \bar{P}_{NH}\}$, $J = \text{diag}\{J_k\}$, $L = \{L_1; \dots; L_{k-1}; L_{NH}\}$ である。従て、式(6)と式(8)より

$$U = (K^*)^{-1} P^* \quad (9)$$

ここに、 $K^* = J H^*$ であり、 $P^* = \bar{P} + J H^* I - L$ である。式(9)より求まつた U を式(5)に代入して、オクタゴンの区間に對する積分定数 X_k が求まる。さらに積分定数 X_k を式(4)に代入して断面変形角 γ が求まる。最後に、その γ を式(2)に代入して断面変形による応力 σ_θ が求まる。

3 数値計算 本解析法の妥当性を検討するために、数値計算をあこなつた。①本法(Torsion bending theory)により、剛体隔壁を有する曲線箱げたに非対称荷重が作用する場合を解析し、文献(1)の解と比較検討した。(図-4) Table 1に、スパン中央断面における両解析法の解を示す。本法と良く一致している。②本法により、弾性隔壁を有する曲線箱げたに集中荷重が作用する場合を解析し、著者が開発したFEMによる解と比較検討した。図-5は、スパン中央断面における応力分布である。本法と良く一致しており、本法により十分FEMの解を近似できる。

4 結論 ①本解析法は妥当であり、曲線箱げたの解析に有用である。②本解析法は、単純ぱり、固定ぱり、連続ぱり、いずれも解析可能である。③計算時間、計算機容量とも非常に小さく、FEMの最大のデメリットを克服している。

5 あとがき 目的(2)を達成するために、本解析法により、パラメータ解析をあこなつ。パラメータ解析の詳細は、後日報告する予定である。

参考文献 1)小西・木松:薄肉曲線桁の基礎理論、土木学会論文集87号(1962), 2)小西・木松:単純支持曲線桁橋の立體的解析、土木学会論文集90号(1963), 3)小西・木松:薄肉連続曲線桁橋の立體的解析、土木学会論文集91号(1963), 4)Babuška, R.: Gekrümmte dünnwandige Träger, Springer Verlag (1968), 5) Olinick, J.C. & Heino, P.C.: Diaphragms for Curved Box Beam Bridges, ASCE(1975)

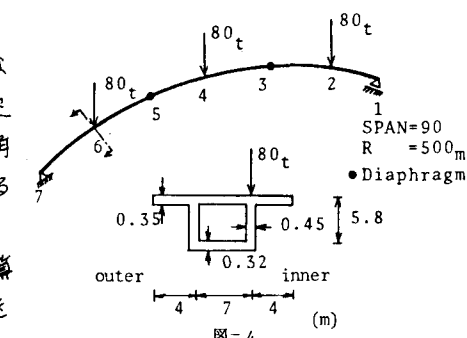


Table 1

	Reference (s)	Torsion-Bending [本法]
M	2990.0 t-m	2988.0 (0.06 t)
γ	4.14×10^{-3} rad.	4.09×10^{-3} (1.18 t)
γ''	-1.23×10^{-4} m ⁻¹	-1.23×10^{-4} (0.0 t)
(σ_θ) upper flange	-92.4 t/m ²	-92.2 (0.178 t)
(σ_θ) lower flange	150.0 t/m ²	149.5 (0.347 t)
(σ_θ) upper flange	-16.7 t/m ²	-16.7 (0.0 t)
(σ_θ) lower flange	24.7 t/m ²	24.7 (0.0 t)

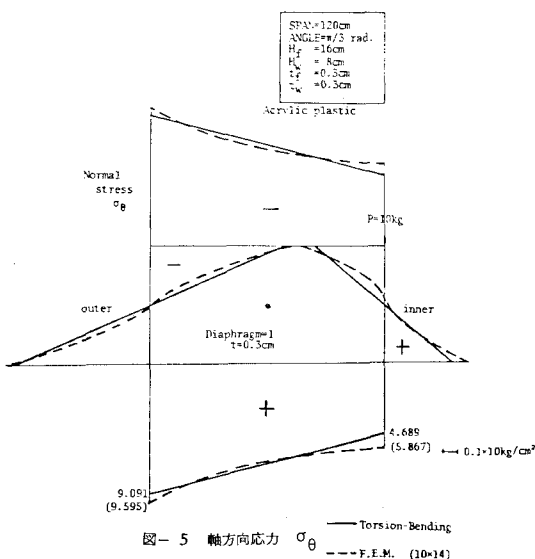


図-5 軸方向応力 σ_θ — Torsion-Bending
--- F.E.M. (10×14)